

\\

Title: Krypton-85 in the atmosphere

Authors: A. T. Korsakov, E. G. Tertyshnik

Measurement results are presented on ^{85}Kr content in the atmosphere over the European part of Russia in 1971 – 1995 based on the analysis of samples of the commercial krypton, which is separated from air by industrial plants. Our results are by 15 % lower than ^{85}Kr activities observed over West Europe.

According our prediction by 2030 ^{85}Kr content in the atmosphere over Europe will amount to 1,5 – 3 Bq/m³ air. Average ^{85}Kr release to the atmosphere from regeneration of spent nuclear fuel (SNF) is estimated, some 180 TBq per 1 ton SNF.

It is advisable to recommence monitoring of ^{85}Kr content within Russia.

Comment: 17 pages, including 3 tables, 2 figures, to be published ANRY (in Russian)

Subjects: Nuclear Experiment (nuc-ex), Geophysics (physics.geo-ph)

Journal reference:

Заголовок: Криптон-85 в атмосфере

Авторы: А. Т. Корсаков, Э. Г. Тертышник

Представлены результаты измерений содержания ^{85}Kr в атмосфере над европейской территорией России в 1971 – 1995 гг., полученные путём анализа проб технического криптона, выделяемого из воздуха промышленными воздухоразделительными установками. Наши данные на 15 % ниже, активности ^{85}Kr , полученной по наблюдениям над Западной Европой.

Согласно приводимому прогнозу содержание ^{85}Kr в атмосфере над Европой к 2030 г. составит 1,5 - 3 Бк/м³ воздуха. Выполнена оценка среднего поступления ^{85}Kr в атмосферу при регенерации отработавшего ядерного топлива (ОЯТ), около 180 ТБк на тонну ОЯТ. Указывается на целесообразность возобновления мониторинга содержания ^{85}Kr на территории России.

Комментарий: 17 страниц, включая 3 таблицы, 2 рисунка, будет опубликована в АНРИ, (на русском)

Предмет (тема): Ядерный эксперимент, Геофизика

\\

Криптон-85 в атмосфере.

Корсаков А.Т., Тертышник Э.Г. (ФГБУ «НПО «Тайфун»)

Ключевые слова: ^{85}Kr , атмосфера, криптон, ионизация, глобальный запас ^{85}Kr , прогноз содержания ^{85}Kr , регенерация ОЯТ, мониторинг активности ^{85}Kr , метод измерения ^{85}Kr .

Овладение человечеством ядерной энергией сопровождается поступлением во внешнюю среду различных радионуклидов – продуктов деления урана, тория, плутония. Газообразный долгоживущий продукт деления ^{85}Kr (период полураспада 10,76 лет) в настоящее время вносит существенный вклад в радиоактивное загрязнение атмосферы планеты. В среднем при делении 1000 тяжёлых ядер образуется 3 ядра ^{85}Kr . Из-за химической инертности этот радионуклид является трудно улавливаемым при переработке отработавшего ядерного топлива и, поступив в атмосферу, рассеивается и сохраняется, т.к. практически не взаимодействует с подстилающей поверхностью и не вовлекается в биологические процессы. Наличие заметной радиоактивности атмосферы, обусловленной ^{85}Kr , впервые отмечено французскими исследователями в 1954 г. [1].

В неизмеримо малых количествах ^{85}Kr присутствует в атмосфере вследствие захвата нейтронов космического излучения атмосферным ^{84}Kr и в меньших количествах вследствие деления природного урана. Природный криптон представляет собой смесь стабильных изотопов криптона с массовыми числами 78, 80, 82, 83, 84 и 86. Было рассчитано, что общая равновесная активность ^{85}Kr , образованного в результате захвата нейтронов космического излучения составляет $3,7 \cdot 10^{11}$ Бк или 0,37 ТБк (10 Ки) [2]. Эта активность существенно меньше активности ^{85}Kr антропогенного происхождения, которая по данным, полученным в 2010 г. немецкими исследователями [3] составляла $4,8 \cdot 10^{18}$ Бк или 4800 ПБк (130 МКи), причём запас ^{85}Kr в атмосфере, образовавшегося при испытаниях ядерного оружия, составлял в 2010 г. 7,84 ПБк (0,21 МКи). В настоящее время практически весь ^{85}Kr в земной атмосфере обусловлен выбросами промышленных предприятий, производивших оружейный плутоний, и выбросами заводов, ведущих переработку отработавшего ядерного топлива (ОЯТ).

Поскольку обмен воздушными массами между северным и южным полушариями затруднён, а основное количество радиокриптона поступает в атмосферу в северном полушарии, существует широтный ход содержания ^{85}Kr ; максимум находится в умеренных широтах северного полушария.

Для определения объёмного содержания ^{85}Kr в атмосфере и его общего запаса измеряют объёмную активность криптона, выделенного из воздуха, поскольку состав атмосферы не изменяется ни при изменении координат земной поверхности, ни при изменении высоты. Криптон в атмосферном воздухе присутствует в очень

незначительных количествах – примерно 10^{-6} (в каждом м^3 воздуха содержится $1,14 \text{ см}^3$ природного криптона). Мониторинг содержания ^{85}Kr в воздухе, на наш взгляд, наиболее целесообразно вести путём анализа образцов технического криптона, который выделяется из воздуха с помощью промышленных установок, производящих кислород, азот, аргон и технический криптон путём низкотемпературного ожижения воздуха и последующей ректификации. Технический криптон содержит в качестве примеси 5 – 7 % ксенона. Измерение активности ^{85}Kr в образцах технического криптона не требует использования низкофоновых установок, а результаты измерений характеризуют воздушные массы очень больших объёмов. По высоте и долготе имеет место интенсивное перемешивание воздушных потоков и распределение активности по этим координатам однородно. Для измерения зависимости объёмной активности ^{85}Kr от широты образцы технического криптона непригодны, поскольку точки отбора проб воздуха определяются местами расположения воздуходелительных установок. Чтобы исследовать широтный ход содержания ^{85}Kr , используют лабораторные установки, извлекающие криптон из воздуха с помощью низкотемпературной динамической адсорбции на активированном угле или силикагеле с последующей фракционированной десорбцией и разделением фракций методом газовой хроматографии [4]. Применялись также установки с ректификационной колонной, где ожиженный воздух разделялся на лёгкую и тяжёлую фракции. Криптон, ксенон и радон концентрируются в тяжёлой фракции. На конечной стадии концентрирования использовался препаративный газовый хроматограф. Подобные установки монтируются на грузовых автомобилях или морских судах и позволяют извлекать из воздуха пробы криптона объёмом 0,5 – 1 л [5].

Достаточно продолжительные регулярные наблюдения за содержанием в приземной атмосфере ^{85}Kr велись в немногих странах: Франции [6], Венгрии [7] и в СССР. В последние годы опубликованы результаты измерения содержания ^{85}Kr в Германии, Швейцарии и Японии с помощью портативных установок, извлекающих криптон из воздуха [8,9]. Над территорией США также проводились наблюдения за содержанием ^{85}Kr в приземном слое воздуха [10] и на больших высотах [11]. В Советском Союзе регулярные измерения содержания ^{85}Kr в приземном воздухе осуществлялись в Московском инженерно-физическом институте (МИФИ) и в Институте экспериментальной метеорологии (ИЭМ).

Широтный ход активности ^{85}Kr подробно исследовался учёными Франции [6] и сотрудниками МИФИ [5,12,13] с помощью установок для выделения криптона из воздуха, размещённых на судах.

В ИЭМ измерения активности ^{85}Kr в атмосфере были начаты в 1971 г. [14].

Отбирались пробы технического криптона, производимого кислородными установками в Новомосковске (Тульская обл., 54° с.ш.), Череповце (Вологодская обл., 59° с.ш.) и в Ереване (40° с.ш.). Пробы отбирались раз в месяц, путём перепуска криптона из стандартных 40-литровых баллонов в вакуумированные баллоны ёмкостью 0,7 л (давление 30 – 50 атм.). После доставки проб в ИЭМ пробы выдерживались в течение месяца, чтобы гарантировать полный распад ^{222}Rn (период полураспада 3,82 сут.), примеси которого могут присутствовать в техническом криптоне. После этого проба (через редуктор) подавалась в специально разработанную сцинтилляционную ячейку для определения объёмной активности ^{85}Kr путём регистрации бета-частиц, сопровождающих его распад [15]. Для калибровки установки применяли образцовый радиоактивный газ (технический криптон, меченый ^{85}Kr), который готовили и аттестовывали с помощью образцовых измерительных установок ВНИИФТРИ. Использование бета-счётчиков внутреннего наполнения, иногда применяющихся для измерения криптона, представляется нам нецелесообразным по ряду причин. Процентный состав газовой смеси, которая содержит измеряемый криптон, рабочий газ и гасящие добавки, необходимо строго контролировать. При введении криптона в рабочий объём счётчика возрастает вероятность появления послеимпульсов, наличие которых приводит к завышению измеряемой активности из-за большого числа метастабильных уровней у атомов криптона и ксенона. Активность некоторых образцов криптона дополнительно определяли по гамма-излучению ^{85}Kr с помощью Ge(Li) – детектора [16]. Объём таких проб (при нормальных условиях) составлял 30 – 40 дм³, продолжительность измерений достигала $5 \cdot 10^5$ с, т.к. квантовый выход гамма-квантов ^{85}Kr (514 кэВ) крайне мал (0,434 %). Сводка среднегодовых результатов наших измерений по трём пунктам представлена в табл. 1 [17-19].

Результаты измерения отдельных проб для каждого пункта отличались от среднегодового уровня, как правило, не более чем на 15 %. Наблюдения за содержанием радиокриптона в Новомосковске велись непрерывно с 1971 по 1987 гг. Среднегодовые содержания ^{85}Kr в Череповце и Новомосковске весьма близки, а относительное уменьшение активности на 40° с.ш. по сравнению с активностью на 54° с.ш. составляет в среднем 8 %. С 1980 г. в связи с прекращением работы воздуходелительной установки в Ереване ежемесячный отбор и анализ проб криптона проводился в двух пунктах. В 1995 г. среднегодовое содержание ^{85}Kr для Череповца составляло 1,08 Бк на м³ сухого воздуха. Заметим, что среднегодовой концентрации радиокриптона 1 Бк/м³ воздуха в умеренных широтах северного полушария соответствует глобальный запас ^{85}Kr $3,2 \cdot 10^{18}$ Бк или 3200 ПБк (86 Мки). Наши данные в среднем в 1,15 раза ниже результатов, полученных [20] для

гг.Гейделберга (Heidelberg, 42°24' N) и Фрейбурга (Freiburg, 48°00' N). Такое увеличение содержания ^{85}Kr в атмосфере над европейскими городами может быть вызвано работой предприятий по регенерации ОЯТ, расположенных в западной Европе сравнительно близко к пунктам отбора проб воздуха или различиями калибровок измерительной аппаратуры.

Многочисленные прогнозы, которые делались до аварии на Чернобыльской АЭС в 1986 г., на основе перспективных планов развития мировой ядерной энергетики, предсказывали быстрое нарастание запаса радиокриптона в атмосфере. Так, по данным Национальной комиссии по радиационной защите и измерениям США в течение нескольких десятилетий после 2000 г. содержание ^{85}Kr должно было возрасти до 110 Бк/м^3 воздуха [2]. Авторы работ [21, 22] полагали, что при таких уровнях загрязнения атмосферы радиокриптоном ионизация всей толщи атмосферы за счёт бета-частиц, испускаемых при распаде ^{85}Kr , вызовет уменьшение электрического сопротивления атмосферы (между ионосферой и поверхностью планеты) примерно на 10 % и, вероятно приведёт к нежелательным изменениям климата. Отметим, что при объёмной активности ^{85}Kr в воздухе в 1 Бк/м^3 , взаимодействие бета-частиц ^{85}Kr с воздухом создаёт $7,4 \cdot 10^3$ пар ионов/ м^3 в секунду, причём ионизация воздуха происходит по всей толще атмосферы, тогда как естественный процесс ионизации за счёт распада радона и его продуктов имеет место только над поверхностью суши и в нижнем слое атмосферы, т.к. содержание радона уменьшается с высотой. Правда, другие исследователи [23, 24] считают, что при указанных уровнях (110 Бк/м^3) увеличение проводимости атмосферы составит всего 1,5 % и, кроме того рекомбинация зарядов на атмосферном аэрозоле компенсирует это повышение.

Наш прогноз [18] накопления ^{85}Kr в атмосфере, сделанный путём экстраполяции данных наблюдений в течение ряда лет, оказался близок к реальности. В работе [18] использовались среднегодовые значения концентрации радиокриптона в Новомосковске и предположения о различных законах изменения темпов инъекции ^{85}Kr в атмосферу. Согласно сделанным оценкам при линейном законе увеличения инъекции со временем к 2000 г. содержание ^{85}Kr должно было составить $1,3 \text{ Бк/м}^3$ воздуха. Фактически среднее содержание ^{85}Kr в 1996 – 1998 гг. для городов ФРГ Гейделберг (Heidelberg, 49°24' N) и Фрейбург (Freiburg, 48°00' N) составило $1,4 \text{ Бк/м}^3$ воздуха [25].

На основе дополнительных данных, полученных нами в 1989 – 1995 гг. (табл. 1), и данных по содержанию в атмосфере ^{85}Kr над территорией Европы [25, 26] выполним экстраполяцию содержания этого загрязнителя на последующие десятилетия.

Если кроме радиоактивного распада нет других путей выведения радиокриптона из атмосферы, то изменение глобального запаса ^{85}Kr в атмосфере можно описать уравнением

$$N(t) = N(0) \cdot \exp(-\lambda t) + \int_0^t n(t-\tau) \cdot \exp(-\lambda \tau) d\tau, \quad (1)$$

где

$N(t)$ – глобальный запас ^{85}Kr в атмосфере, Бк

$n(t)$ – среднегодовая инжекция, Бк/год

$t = T - T_0$, T – время в годах, T_0 – год начала инжекции ($T_0 = 1945$)

$\lambda = \ln(2)/P$, где P – период полураспада ^{85}Kr ; 10,76 лет

Полагая $N_0 = N(0)$, получим

$$N(t) = \exp(-\lambda t) \cdot (N_0 + \int_0^t n(\tau) \cdot \exp(\lambda \tau) d\tau); \quad (2)$$

В предположении о плавном изменении глобальной годовой инжекции, для выявления доминирующей тенденции в скорости накопления ^{85}Kr рассмотрим три гипотетических модели:

1) линейный рост $n_L(t) = a_0 + a_L \cdot t$; $t > 0$, $a_0 > 0$, $a_L > 0$

2) экспоненциальный рост $n_{\text{exp}}(t) = a_0 + a_1 \cdot \exp(b \cdot t)$; $t > 0$, $b > 0$, $a_0 / a_1 > -1$

3) ограниченный рост $n_{\text{lim}}(t) = a_0 - a_1 \cdot \exp(-b \cdot t)$; $t > 0$, $b > 0$, $a_0 / a_1 > 1$

Для постоянной инжекции выражение (2) даёт

$$N_{\text{const}}(t) = N_0 \cdot \exp(-\lambda \cdot t) + a_0 \cdot (1 - \exp(-\lambda t)) / \lambda, \quad (3)$$

где N_0 – концентрация в начале измерений

a_0 – величина ежегодной инжекции

Тогда для выбранной формулы ограниченной инжекции можно записать

$$N_{\text{lim}}(t) = N_{\text{const}}(t) + a_1 \cdot (\exp(-b \cdot t) - \exp(-\lambda \cdot t)) / (b - \lambda), \quad (4)$$

а при экспоненциальном росте инжекции

$$N_{\text{exp}}(t) = N_{\text{const}}(t) + a_1 \cdot (\exp(b \cdot t) - 1) / (\lambda + b), \quad (5)$$

Если в общем случае функция инжекции может быть представлена степенным многочленом

$$n_m(t) = \sum_{k=0}^m a_k \cdot t^k, \quad t > 0,$$

m – степень многочлена, то $N_m(t) = N_0 \exp(-\lambda \cdot t) + \sum_{k=0}^m F_k$,

где $F_0 = (1 - \exp(-\lambda t)) / \lambda$;

$$F_k = (t^k - k \cdot F_{k-1}) / \lambda, \quad k = 1, 2, \dots, m; \quad \frac{dF_k}{dt} = k \cdot F_{k-1}$$

Для случая $m = 1$ (линейный рост инжекции) значение среднегодовой концентрации ^{85}Kr можно определить по формуле:

$$N_1(t) = N_{\text{const}}(t) + a_1 \cdot (t - (1 - \exp(-\lambda t)) / \lambda) / \lambda,$$

и тогда зависимость концентрации в перспективе стремится к линейной:

$$N_1(t) = (a_0 / \lambda - a_1 / \lambda^2) + (a_1 / \lambda) \cdot t$$

В общем случае легко заметить, что при установившемся монотонном характере инжекции зависимость концентрации стремится к аналогичной формуле, но с другими коэффициентами.

Таким образом, для постоянной или ограниченной инжекции (после выхода на «плато») запас радиокриптона в атмосфере стремится к величине, определяемой равновесной концентрацией:

$$N_{\text{равн.}} = a_0 / \lambda \tag{6}$$

Также как и в случае постоянной инжекции, при условии $\lambda \cdot t \gg 1$ отношение

$$n_1(t) / N_1(t)$$

стремится к величине равной λ , а величина $n_{\text{exp}}(t) / N_{\text{exp}}(t)$ при дополнительном условии $b \cdot t \gg 1$ стремится к значению $\lambda + b$.

Если предположить, начальная концентрация ^{85}Kr в воздухе $N_0 = 0$, то наилучшее совпадение расчетной кривой с наблюдаемыми данными даёт модель с экспоненциальным ростом глобальной инжекции.

В табл. 2 представлены функции, аппроксимирующие временной ход инжекции ^{85}Kr .

Постоянные коэффициенты функций и значение T_0 рассчитаны методом наименьших квадратов для уравнений (3), (4), (5), причём в вариантах линейной и экспоненциальной аппроксимации использовались наши данные по среднегодовой концентрации ^{85}Kr в г. Череповец (табл. 1), а в случае ограниченной инжекции – среднегодовые данные, полученные в западной Европе и приведённые в [3, 26, 27] для обсерватории Юнгфрауйох (Jungfraujoch), расположенной в горах Швейцарии. Эти данные уменьшены в 1,15 раза, чтобы учесть систематическое расхождение с нашими результатами. В этой же таблице для каждого варианта изменения темпов инжекции приведены ожидаемые скорость инжекции и содержание ^{85}Kr (умеренные широты северного полушария) в 2020 и 2030 гг. Согласно нашему прогнозу максимальная активность ^{85}Kr в атмосфере северного полушария может составить в 2030 г. 3 Бк/м³ воздуха, что примерно в 2 раза выше современного значения. На рис.1 представлены прогностические зависимости от времени содержания ^{85}Kr в воздухе умеренных широт северного полушария, а также результаты

измерений активности радиокриптона (показаны результаты измерений в России (СССР) и ФРГ). Отметим, что данные, полученные европейскими учёными [26,29] указывают на отсутствие роста активности ^{85}Kr в атмосфере северного полушария после 2002 г., а результаты измерений, проведённых (2006 –2008 гг.) в России [28] на 10 % выше европейских и демонстрируют рост в соответствие с экспоненциальным ростом инъекции.

Согласно [2] при переработке 1 т, отработавшего ядерного топлива выделяется 130 – 1800 ТБк ^{85}Kr . В табл. 3 приведены данные МАГАТЭ [30], из которых следует, что с 1990 по 1995 г. в мире регенерировано 10 тыс. т ОЯТ, а с 1990 по 2010 г. – 45 тыс. т. Полагая, что основная часть ^{85}Kr , образовавшаяся в ОЯТ, поступает атмосферу в процессе регенерации, можно уточнить среднюю активность ^{85}Kr , поступающего в атмосферу при регенерации 1 т ОЯТ. Зависимость массы регенерированного топлива от времени [30] можно аппроксимировать экспонентой (со средней относительной погрешностью менее 4 %). Дифференцируя кривую этой аппроксимации и сопоставляя полученную таким образом функцию источника с кривой инъекции, полученной по результатам измерений содержания ^{85}Kr в Череповце (табл. 2), получаем, что средний выход ^{85}Kr при регенерации 1 т ОЯТ составляет около 180 ТБк (рис. 2).

В последние годы содержание радиокриптона в тропосферном воздухе умеренных широт не меняется [27, 29]. Содержанию ^{85}Kr в тропосфере умеренных широт северного полушария $1,45 \text{ Бк/м}^3$ воздуха соответствует равновесный запас этого радионуклида в атмосфере планеты $N_{\text{равн}} = 4,64 \cdot 10^{18} \text{ Бк}$ (125 МКи), а равновесная инъекция согласно (6) $a_{\text{равн}} = 0,3 \cdot 10^{18} \text{ Бк/год}$ (8,1 МКи/год). Согласно оценкам, приведённым в работе [31], в декабре 2001 г глобальный запас ^{85}Kr составлял $5 \cdot 10^{18} \text{ Бк}$, причём авторы этой работы учитывали поступление воздушных масс из северного в южное полушарие, в результате которого некоторая часть ^{85}Kr переходит из северного в южное полушарие.

Вероятно, в будущем при стабильном содержании ^{85}Kr в атмосфере северного полушария глобальный запас этого радионуклида будет увеличиваться и содержанию ^{85}Kr в атмосфере северного полушария (умеренные широты) 1 Бк/м^3 воздуха будет соответствовать глобальный запас не $3,2 \cdot 10^{18} \text{ Бк}$, как принято в наших расчётах, а увеличенное значение, которое следует уточнить, выполнив дополнительные измерения содержания ^{85}Kr на различных широтах южного и северного полушарий.

Сокращение площади ледовых полей в Арктике вследствие глобального потепления в какой-то степени также может влиять на баланс ^{85}Kr в атмосфере, т.к. растворимость криптона во льду меньше его растворимости в воде [32], и возрастание площади открытой воды может привести к уменьшению запаса ^{85}Kr . С другой стороны в

работе [33] отмечается, что ^{85}Kr , сорбированный жидким абсорбентом, прочно фиксируется при переходе последнего в твёрдую фазу, поэтому благодаря этому эффекту арктические льды могут удерживать криптон, который при их таянии будет высвобождаться, увеличивая глобальный запас ^{85}Kr в атмосфере.

Изучение широтного распределения ^{85}Kr в южном полушарии и вблизи полюсов (от 60° до 90°) и исследование влияния площади полярных льдов на глобальный запас ^{85}Kr требует анализа множества проб воздуха на ^{85}Kr в течение продолжительного времени.

В перспективе эти задачи могут решаться с помощью недавно разработанного сверхчувствительного метода анализа, основанного на избирательном воздействии лазерного излучения на атомы ^{85}Kr . Метод АТТА (Atom Trap Trace Analysis), разработанный в Аргонской Национальной лаборатории (Иллинойс, США), позволяет регистрировать отдельный атом ^{85}Kr , который избирательно удерживается магнито-оптической ловушкой (МОЛ) и детектируется по его флуоресценции [34]. Счётная эффективность первой установки АТТА составляла 1×10^{-7} , эффективность установок, разработанных позже (АТТА-2; АТТА-3), возросла до 1×10^{-4} [35]. Метод АТТА является относительным методом и для измерения отношения $^{85}\text{Kr}/\text{Kr}$ в образце (пробе) затрачивается 2 – 3 часа, однако в процессе измерения атомы криптона, осевшие на внутренних стенках установки, искажают результаты измерения следующего образца (эффект «памяти»). Поэтому перед сменой образца приходится систему «промывать» ксеноном в течение 36 часов, в итоге производительность аппаратуры АТТА составляет всего один образец за двое суток.

В настоящее время аппаратура для АТТА анализа не получила широкого применения из-за её сложности. Три пары лазерных лучей (длина волны 811 нм) используют для удержания атомов криптона в ловушке, причём частота лазерного излучения изменяется в процессе анализа с помощью акустико-оптических модуляторов. Дополнительные лазеры применяют для замедления и фокусировки потока атомов криптона, поскольку скорость анализируемых атомов не должна превышать 20 м/с для эффективной работы МОЛ.

В районе магнито-оптической ловушки поддерживается ультравысокий вакуум (2×10^{-8} мм рт. ст.) посредством турбомолекулярных вакуумных насосов, работа которых дополняется применением геттеров.

Сообщается о создаваемой в Германии АТТА установке, которая позволит определять содержание ^{85}Kr в пробе криптона, извлечённого из одного л воздуха (НТД), при времени анализа 3 часа [36]. Разработчики этой аппаратуры намерены использовать

установку для обнаружения не декларированного производства оружейного плутония, т.к. отбор пробы воздуха такого объёма легко произвести в любом месте, открыв вентиль предварительно вакуумированного баллона.

Выводы:

1. Прогноз содержания ^{85}Kr в атмосфере на 2000 г., сделанный нами в 1990 г оправдался с хорошей точностью.
2. На основе данных измерений содержания ^{85}Kr в атмосфере, которые проводились нами на европейской территории страны с 1971 по 1995 гг., выполнен прогноз, согласно которому к 2030 г содержание ^{85}Kr составит от 1,5 до 3 Бк/м³ воздуха.
3. Приведена оценка среднего выброса ^{85}Kr в атмосферу при регенерации 1 т ОЯТ, который составил около 180 ТБк/т.
4. Результаты определения содержания ^{85}Kr в атмосфере над западной Европой свидетельствуют, что в последнее десятилетие прекратился рост содержания этого радионуклида, достигнув значения около 1,5 Бк/м³ воздуха. При этом глобальный запас ^{85}Kr в атмосфере составляет приблизительно $5 \cdot 10^{18}$ Бк, а инъекция ^{85}Kr в атмосферу, компенсирующая его радиоактивный распад равна $0,3 \cdot 10^{18}$ Бк/год (8,1 МКи/год).
5. Поскольку в настоящее время на территории России не проводятся наблюдения за содержанием ^{85}Kr в атмосфере, целесообразно возобновить мониторинг активности ^{85}Kr в воздухе путём измерения активности проб криптоно-ксеноновой смеси, отбираемых с промышленных воздуходелительных установок.

В заключение авторы выражают благодарность А. А. Сиверину за многолетние измерения (1975 – 1986 гг.) содержания ^{85}Kr в пробах технического криптона, а также А. И. Козлову, который продолжил эти измерения в период с 1989 до 1995 гг.

Литература

1. Delibrias G. and Jehanno C. Atmospheric activity due to Krypton-85. / Bull. Inform. Sci. Techn., Paris, 1959, Vol.30, No.14.
2. Криптон-85 в атмосфере. Накопление, биологическое значение и способы контроля: Пер. с англ. Е. Ю. Москалёвой /Под ред. Ю. В. Сивинцева. – М.: Атомиздат, 1978. –64 с.
3. Sartorius H., Konrad M., Purtschert R., Schlosser C. et. al. ^{85}Kr Activity Determination in Tropospheric Air. // Project of International Foundation HFSJG, Activity Report 2010, p.112 – 114.
4. Stockburger H. und Sittkus A. Messung der Krypton-85 – Aktivität der atmosphärischen Luft. – Z. Naturforsch, 1975, V. 30a, № 8, p.959 – 961.
5. Ачкасов С.К., Гудков А.Н., Захаров О.В., Крылов А.Ю. и др. Мониторинг загрязнения атмосферы ^{85}Kr . – Атомная энергия, 1991, т.70, вып. 4, с. 234 – 239.
6. Patti F., Bourgeon P. Concentrations Atmospheriques de ^{85}Kr Dans Les Hemispheres Nord et Sud. – Journal of Radioanalytical Chemistry, 1980, Vol. 56, No. 1 – 2, p. 221 – 228.
7. Csongor E. Az atmoszferikus Kr-85 koncentracio meresi modszeri es az ATOMKI-ban 1966 – 1977 kobott vegzett meresek. – ATOMKI Kozl., 1979, Vol.21, No.1, p. 1 – 12.
8. Igarashi Y., Sartorius H., Miyao T., Weiss W., Fushimi K. et. al. ^{85}Kr and ^{133}Xe monitoring at MRI, Tsukuba and its importance. – Journal of Environmental Radioactivity. 2000, Vol. 48, Issue 2, p.191 – 202.
9. Momoshima N., Inoue F., Sugihara S. et. al. An improved method for ^{85}Kr analysis by liquid scintillation counting and its application to atmospheric ^{85}Kr determination. – Journal of Environmental Radioactivity. 2010, vol. 101, p. 615 – 621.
10. Krypton-85 in Air, July 1970 to December 1972. Eastern Environmental Radiation Facility U.S. Environmental Protection Agency. – Radiation Data and Reports. 1974, Vol.15, No.3, p. 133.
11. Telegadas K., Ferber G.J. Atmospheric Concentrations and Inventory of Kr-85 in 1973. – Science, 1975, Vol.190, No. 4217, p. 882 – 883.
12. Гудков А.Н., Иванов В.И., Колобашкин В.М., Лейпунский О.И., Некрасов В.И., Новичков В.П., Сербулов Ю.А., Ушакова Н.П. Исследование содержания криптона-85 в атмосфере. – Экспериментальные методы ядерной физики. М. 1978, № 4, с.26 – 31.
13. Гудков А.Н., Иванов В.И., Кароль И.Л. Широтное распределение криптона-85 в приземном слое атмосферы (по результатам экспедиции на НИС «Академик Курчатов») // Прикладная ядерная физика. Загрязнение атмосферы продуктами ядерных делений. Вып. 5. Вильнюс: Ин-т физики и математики, 1976, с. 5 – 13.

14. Тертышник Э.Г., Малахов С.Г. Измерение концентрации криптона-85 в атмосферном воздухе. В сб. Труды Института экспериментальной метеорологии: Загрязнение природных сред, вып. 3 (42), М.: Гидрометеиздат, 1974, с.60 – 64.
15. Тертышник Э.Г. Абсолютные измерения активности газообразных бета-излучателей с помощью сцинтилляционного счётчика – Атомная энергия . 1975, т.39, вып. 2, с.113.
16. Тертышник Э.Г., Баранов В.Г. Определение активности криптона-85 в атмосфере по гамма-излучению образцов технического криптона. – Труды Института экспериментальной метеорологии, 1985, вып. 9 (124), с. 94 – 99.
17. Тертышник Э.Г., Сиверин А.А., Баранов В.Г., Вакуловский С.М. Содержание криптона-85 в атмосфере над территорией СССР в 1971 – 1980 гг. – Атомная энергия, 1982, т. 53, вып. 2, с. 114 – 116.
18. Тертышник Э.Г., Корсаков А.Т. Темпы накопления ^{85}Kr в атмосфере. – Атомная энергия, 1990, т. 68, вып.4, с. 267 – 271.
19. Радиационная обстановка на территории России и сопредельных государств в 1995 г. Ежегодник. Под ред. К.П. Махонько, Обнинск, НПО «Тайфун», 1996, 308 с.
20. Winger K., Feichter J., Kalinowski M.B., Sartorius H., Schlosser C. A new compilation of atmospheric $^{85}\text{krypton}$ inventories from 1945 to 2000 and its evaluation in global transport model. – Journal of Environmental Radioactivity, 2005, Vol. 80, p. 183 – 215.
21. Boeck W.L. Krypton-85, a Global Contaminant. – Science, 1976, Vol. 193, No. 4249, p. 195 – 198.
22. Израэль Ю.А., Назаров И.М., Рябошапка А.Г. Проблема антропогенных выбросов криптона-85 в атмосферу. – Метеорология и гидрология, 1982, № 6, с.5 – 15.
23. Gjorup H. Krypton-85 and Atmospheric Conductivity. – Science, 1977, Vol. 196, No. 4288, p. 381.
24. Смирнов В.В. Электрические факторы чистоты воздуха – Труды Института экспериментальной метеорологии, 1983, вып. 30(104), с. 64 – 106.
25. Igarashi Y., Sartorius H., Miyao T., Wiess W., Fushimi K. et. al. ^{85}Kr and ^{133}Xe monitoring at MRI, Tsukuba and its importance. . – Journal of Environmental Radioactivity, 2000, Vol. 48, p. 191 – 202.
26. Sartorius H., Wiess W., Loosli H.H. ^{85}Kr Activity Determination in Tropospheric Air. // Project of International Foundation HFSJG, Activity Report 2002, p.99 – 101.
27. Schlosser C., Konrad M., Schmid S., Purtschert R. ^{85}Kr Activity Determination in Tropospheric Air // Project of International Foundation HFSJG, Activity Report 2012, p.57 – 59.

28. Дубасов Ю.В., Окунев Н.С. Содержание радионуклидов ^{85}Kr и Xe в атмосферном воздухе Северо-Западного региона России в 2006 – 2008 гг. // В кн. Труды Радиевого института им. В.Г. Хлопина, т. 15, 2011. СПб.: Радиевый ин-т, 2012, 247с.
29. Stocker Th., Bürki H., Fischer R. et al . Tritium, Kohlenstoff-14 und Krypton-85, Messperiode 2004. In der Summlung: Umweltradioaktivität und Strahlendosen in der Schweiz, 2004.
30. Spent fuel reprocessing options. IAEA – TECDOC-1587, (ISBN 978-92-0-103808-1; ISSN 1011 – 4289), Vienna, 2008, 144 p.
31. Hirota M., Nemoto K., Wada A., Igarashi Y., Aoyama M., Matsueda H., Hirose K., Sartorius H., Schlosser C., Schmid S., Weiss W., Fujii K. – Journal of Radiation Research, 2004, Vol. 45, No. 3, p. 405 – 413
32. Косяков В.И., Шестаков В.А. Расчёт растворимости инертных газов во льду с использованием двух моделей твёрдых растворов. – Электронный научный журнал «Исследовано в России», с.1520 – 1527. <http://zhurnal.ape.relarn.ru/articles/2006/163.pdf>
33. Butkus D., Kleiza J. Adsorption of ^{85}Kr radioactive inert gas into hardening mixtures. – Journal of Radioanalytical and Nuclear Chemistry, 2011, Vol. 287, p. 247 – 254.
34. Chen C.-Y., Li Y.M., Bailey K., O'Connor T.P., Young L., Lu Z.-T. Ultrasensitive Isotope Trace Analyses with a Magneto-optical Trap. – Science, 1999, Vol. 286, No. 5442, p. 1139 – 1141.
35. Jiang W., Bailey K., Lu Z.-T., Mueller P., O'Connor T. P., Cheng C.-F., Hu S.-M., Purtschert R., Sturchio N.C., Sun Y.R., Williams W.D., Yang G.-M. An Atom Counter for Measuring ^{81}Kr and ^{85}Kr in Environmental Samples. – Geochimica et Cosmochimica Acta, 2012, Vol. 91, p. 1 – 6.
36. Daerr E., Kalinowski M., Kohler M., Sahling P. Ultra-Trace Analysis of Krypton-85. IAEA – CN – 184/37 (2010).
www.iaea.org/ourwork/sv/safeguads/symposium/2010/documents/papersRepository/037.pdf

Т а б л и ц а 1. Среднегодовая концентрация ^{85}Kr в приземном слое атмосферы при 0°C и 760 мм рт. ст., Бк/м³ сухого воздуха (по результатам наших измерений).

Год	Новомосковск 54° 02' с.ш. 38° 16' в.д.	Череповец 59° 08' с.ш. 37° 55' в.д.	Ереван 40° 11' с.ш. 44° 31' в.д.
1971	0,50	-	-
1972	0,52	-	-
1973	0,54	-	-
1974	0,54	-	0,53
1975	0,60	0,59	0,54
1976	0,62	0,61	0,6
1977	0,62	0,62	0,58
1978	0,65	0,67	0,62
1979	0,62	0,59	0,53
1980	0,66	0,66	-
1981	0,63	0,67	-
1982	0,64	0,67	-
1983	0,72	0,69	-
1984	0,76	0,72	-
1985	0,84	0,79	-
1986	0,82	0,83	-
1987	0,91	0,89	-
1988	-	-	-
1989	0,87	0,96	-
1990	-	0,93	-
1991	-	0,95	-
1992	-	0,92	-
1993	-	0,95	-
1994	-	1,02	-
1995	-	1,08	-

Т а б л и ц а 2. Варианты прогноза темпов инжекции и содержания ^{85}Kr в атмосфере северного полушария.

Изменение со временем среднегодовой скорости инжекции и значения расчётных коэффициентов	2020 год		2030 год	
	годовая глобальная инжекция, Бк / м ³ ·год (МКи/год)	среднегодовая концентрация, Бк / м ³ возд.	годовая глобальная инжекция, Бк / м ³ ·год (МКи/год)	среднегодовая концентрация, Бк / м ³ возд.
<p><i>экспоненциальная</i></p> <p>$n(t)=a+b\cdot\exp(c\cdot t)$,</p> <p>$a=0, b=0,0232, c=0,0296,$ ($T_0=1945$ $N_0=0$)</p>	<p>$6,8\cdot 10^{17}$ (18)</p>	<p>2,27</p>	<p>$9,2\cdot 10^{17}$ (25)</p>	<p>3,05</p>
<p><i>линейная</i></p> <p>$n(t)=a_0+a_1\cdot t$,</p> <p>$a_0=0,00557, a_1=0,00182,$ ($T_0=1945$ $N_0=0$)</p>	<p>$4,5\cdot 10^{17}$ (12)</p>	<p>1,77</p>	<p>$5,1\cdot 10^{17}$ (14)</p>	<p>2,05</p>
<p><i>ограниченная</i></p> <p>$n(t)=a - b\cdot\exp(-c\cdot t)$,</p> <p>$a=b=0,053, c=0,108,$ ($T_0=1960$ $N_0=0,1$)</p>	<p>$3,3\cdot 10^{17}$ (8,9)</p>	<p>1,44</p>	<p>$3,4\cdot 10^{17}$ (9,0)</p>	<p>1,53</p>

Т а б л и ц а 3. Количество переработанного ядерного топлива (кумулятивное количество) инжекция и содержание криптона-85 в атмосфере северного полушария.

Годы	Масса переработанного топлива, (tHM)*	Инжекция ⁸⁵ Kr, Бк/год, (МКи/год)	Содержание ⁸⁵ Kr в Европе, Бк/м ³ воздуха
1980	-	-	0,73
1985	-	-	1,04
1990	50000	-	1,06
1995	60000	0,26·10 ¹⁸ (7,0)	1,22
2000	75000	0,39·10 ¹⁸ (10,5)	1,39
2005	80000	0,13·10 ¹⁸ (3,5)	1,45
2010	95000	0,39·10 ¹⁸ (10,5)	1,45
2015	105000	0,26·10 ¹⁸ (7,0)	-
2020	124000	0,49·10 ¹⁸ (13,2)	-
2025	124000	0	-
2030	135000	0,29·10 ¹⁸ (7,8)	-

* – тонн тяжёлых металлов (урана, плутония)

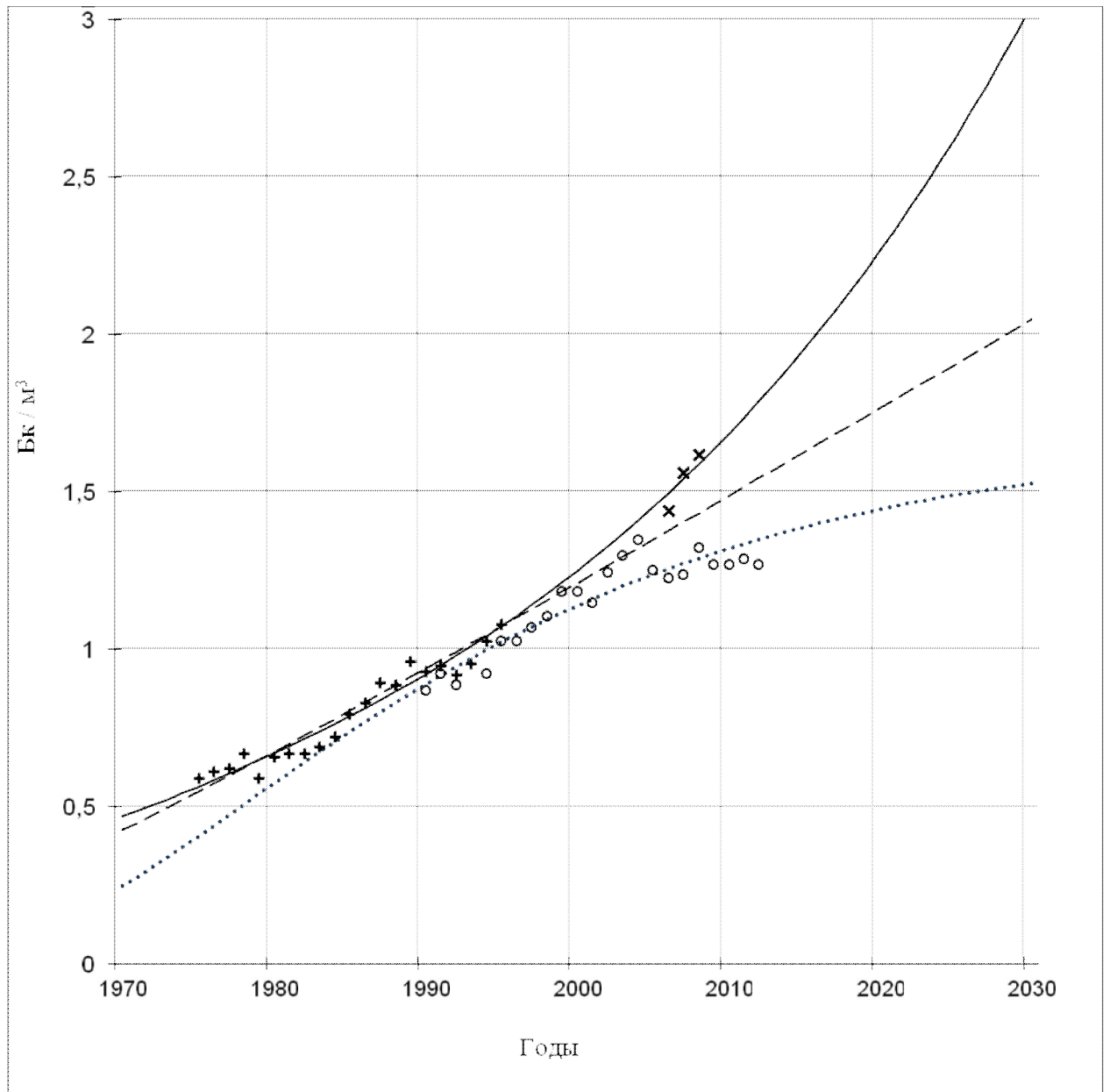


Рис. 1. Эволюция содержания ^{85}Kr в атмосфере, (данные измерений) и прогноз для разных темпов инъекции:

———— для экспоненциальной;

----- для линейной;

..... для ограниченной (табл. 2).

Данные измерений:

+ – наши результаты, г. Череповец;

× – среднегодовые результаты, приведённые в [28], г. Череповец;

○ – данные, полученные в ФРГ для обсерватории Юнгфрауйоч (Jungfraujoch), уменьшенные в 1,15 раза.

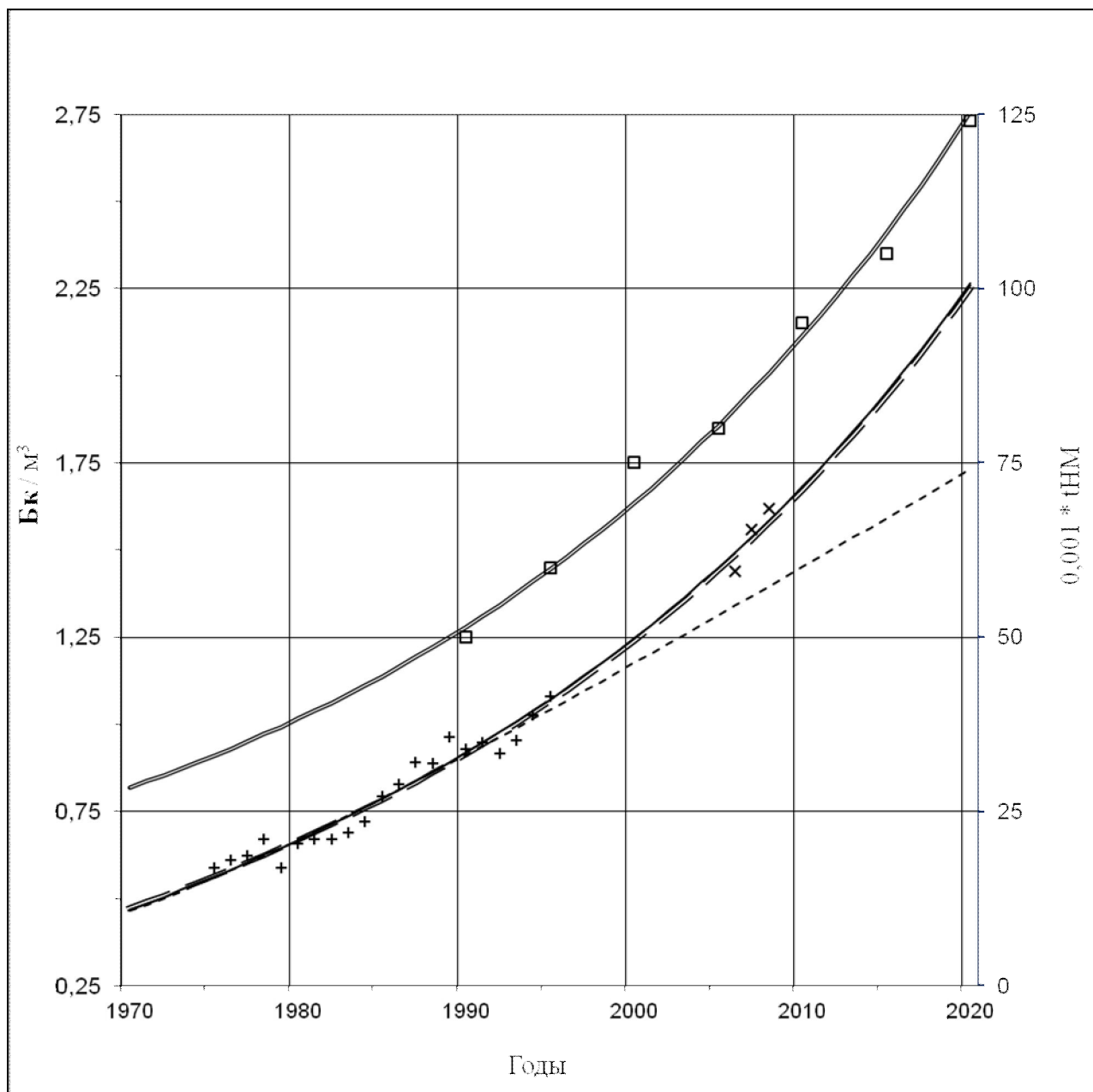


Рис. 2. К определению средней активности ^{85}Kr , поступавшего в атмосферу при регенерации 1 т ОЯТ (177 ТБк/т) на основании данных МАГАТЭ [30] и наших измерений в г. Череповец.

- – масса регенированного топлива, данные МАГАТЭ;
- + – наши результаты, г. Череповец;
- × – среднегодовые результаты, приведённые в [28], г. Череповец;
- линейная аппроксимация инъекции
- экспоненциальная аппроксимация инъекции
- ==== экспоненциальная аппроксимация роста массы переработанного топлива
- ==== содержание ^{85}Kr рассчитанное, по результатам аппроксимация массы переработанного топлива